

## CeO<sub>2</sub>와 각종 산화물에 의해 동시 안정화한 정방정 ZrO<sub>2</sub> 다결정체의 소결성과 안정성

박정현 · 문성환

연세대학교 요업공학과

(1991년 6월 24일 접수)

### Sinterability and Stability of Tetragonal Zirconia Polycrystals Co-Stabilized by CeO<sub>2</sub> and Other Oxides

Jeong-Hyun Park and Sung-Whan Moon

Dept. of Ceramic Engineering, Yonsei University

(Received June 24, 1991)

#### 요약

ZrO<sub>2</sub>에 12 mol%의 CeO<sub>2</sub>와 2가 및 3가 산화물을 각각 1 mol% 이내로 동시에 첨가하여 제조한 TZP계 세라믹스의 치밀화와 상의 안정성에 대하여 연구한 결과, CeO<sub>2</sub>와 2가 및 3가 산화물로 동시에 안정화시켰을 때 CeO<sub>2</sub> 단일성 분으로 안정화시켰을 때에 비하여 정방정상의 안정성이 증대되어 TZP계 세라믹스의 정방정상의 분율이 증가하였으며, 1500°C, 2시간 소결시 12 mol%의 CeO<sub>2</sub>와 0.2 mol%의 CaO 및 MgO의 동시에 안정화에 의해 100%의 정방정상 ZrO<sub>2</sub>만으로 이루어진 TZP를 제조할 수 있었다. 2가 및 3가 산화물은 ZrO<sub>2</sub>에 고용되어 치밀화를 촉진시켰으며, ZrO<sub>2</sub>의 입자성장을 억제하였다. 특히 CaO가 ZrO<sub>2</sub>에 대한 가장 효과적인 소결조제인 동시에 입자성장 억제제로 작용함을 알 수 있었다. 12Ce-TZP에 비하여 12Ce, 0.4Ca-TZP는 강도값이 증가하여 약 2배의 꺾임강도 증가를 나타내었다.

#### ABSTRACT

Sinterability and stability of TZP ceramics co-stabilized by 12 mol% CeO<sub>2</sub> and divalent or trivalent oxides less than 1 mol% were investigated. Divalent and trivalent oxides increased stability of tetragonal ZrO<sub>2</sub>. 100% tetragonal ZrO<sub>2</sub> phase was obtained by doping 12 mol% CeO<sub>2</sub> and 0.2 mol% CaO and MgO respectively when sintering was carried out at 1500°C for 2 hours. Divalent and trivalent oxides improved sinterability and inhibit grain growth of ZrO<sub>2</sub>. And it was found that CaO was the most effective sintering aid and grain growth inhibitor for ZrO<sub>2</sub> in this study. Incorporation of divalent and trivalent oxides into 12Ce-TZP increased the strength of 12Ce-TZP and particularly 12Ce, 0.4Ca-TZP exhibited a flexural strength of about twofold greater than 12Ce-TZP.

#### 1. 서 론

ZrO<sub>2</sub>의 고온상인 정방정상을 상온까지 안정화시킨 TZP(tetragonal zirconia polycrystals) 세라믹스는 과거 정방정상이 단사정상으로 마르텐사이트 전이를 하면서 파괴응력을 완화시킴과 동시에 상전이에 따른 부피 팽창의 효과에 의해 입자주위에 압축응력을 발생시켜 균열의 전파를 억제함으로써 높은 강도값과 파괴인성값

을 갖는 것으로 알려져 있다<sup>1-5)</sup>.

100%의 정방정상으로만 이루어진 TZP를 형성할 수 있는 안정화제로는 Y<sub>2</sub>O<sub>3</sub>, Sc<sub>2</sub>O<sub>3</sub>, Yb<sub>2</sub>O<sub>3</sub><sup>6)</sup>과 Er<sub>2</sub>O<sub>3</sub><sup>7)</sup> 등이 있으며, 이중 Y<sub>2</sub>O<sub>3</sub>로 안정화시킨 Y-TZP는 강도값이 매우 높은 것으로 보고되고 있다<sup>8)</sup>. 그러나 Y-TZP의 경우에 있어서는 저온에서의 속성에 의해 정방정상이 표면으로부터 단사정상으로 전이하여 심각한 강도 저하를 가져오는 것으로 알려져 있으며, 이러한 저온열화현상을 개

선하기 위하여  $ZrO_2$ 에 고용되어 정방정  $ZrO_2$ 상의 안정성을 증진시킬 수 있는  $CaO$ ,  $MgO$  또는  $CeO_2$  등을  $Y_2O_3$ 와 동시에  $ZrO_2$ 에 고용시켜 효과를 가져오고 있다<sup>9)</sup>. 또한  $CeO_2$ 로 안정화시킨 Ce-TZP는 파괴인성값이 매우 높아 주목을 받고 있으나<sup>10-13)</sup> Y-TZP 등에 비해 파괴강도값과 소결성이 다소 저하하는 등의 단점을 가지고 있다<sup>12)</sup>. 고밀도의 지르코니아계 세라믹스를 제조하기 위한 방법으로는 (1) 가압소결과 같은 특수한 제조공정을 사용하는 방법<sup>14)</sup>, (2) kaolin이나  $TiO_2$ 와 같이 액상을 형성하는 소결조제를 첨가하는 방법, (3) 고용체를 형성하여 지르코니아의 결합구조를 변화시켜 소결을 촉진시킬 수 있는 소결조제를 첨가하는 방법 등이 있다. 그러나 통상적인 방법의 가압소결시는 탄소 등에 의해  $CeO_2$ 가  $Ce_2O_3$ 로 환원되기 때문에 정방정상이 단사정상으로 전이하여 Ce-TZP를 제조하기 어려우며<sup>14)</sup>, 또한 TZP계에 액상이 형성되면 파괴시 정방정상의 전이를 어렵게 하여 강도와 파괴인성을 저하시키는 것으로 알려져 있다<sup>15)</sup>.

결과적으로  $ZrO_2$ 와 고용체를 형성하여 Ce-TZP의 소결성을 증진시킬 수 있는 소결조제를 찾는 것이 바람직할 것으로 생각된다.  $ZrO_2$ 의 소결은 격자확산에 의하여 이때의 유효종은 격자간 침입기구(interstitial mechanism)에 의해 이동하는 양이온( $Zr^{4+}$ )으로 알려져 있다<sup>16)</sup>. 본 연구에서는 Ce-TZP 세라믹스의 기계적 성질과 소결성을 증진시키기 위하여 2가 및 3가 산화물을  $CeO_2$ 와 동시에  $ZrO_2$ 에 고용시켜 소결성이 높은 고강도의 삼성분계 TZP 세라믹스를 제조함을 목적으로 하였다.

## 2. 실험방법

### 2.1. 시편 제조

$CeO_2$ 와 각종 산화물에 의한 동시 안정화 효과를 알

아보기 위해서  $ZrO_2$ 에 대한  $CeO_2$ 의 함량을 12 mol%로 고정하고 여기에 각 산화물을 1 mol% 이내로 첨가하여 중류수와 alumina 불과 함께 plastic 용기에서 습식혼합한 후 전조하였다. 전조분말을 800°C에서 1시간 하소한 후 80 meshb체를 통과하여 과립화하였다. 과립분말은 100 kg/cm<sup>2</sup>의 압력으로 1차 성형한 후 180 kg/cm<sup>2</sup>의 압력으로 정수압 성형하였다. 성형체는 모두 super kanthal 발열체를 사용한 전기로에서 1350°C~1500°C로 2시간 소결한 후 로냉하였다.

본 연구에서 사용한 시편의 조성별 표기방법은 Table 1과 같다. 꺾임강도 측정용 시편은 세라믹 선용 가공기 (Amada, Model SG-52FVC, Japan)에서 diamond wheel # 600으로 최종 가공, 연마하여 제조하였으며 가공면의 표면조도( $R_{\text{max}}$ )를 표면조도 측정기(Surfcomber SEF-30 D, Kosaka Lab. Ltd., Japan)에 의해 측정한 결과 1.5 μm였다.

### 2.2. 상분석

소결체 표면의 정방정 상의 분율은 단사정 (111), (111) 피크와 정방정 (111) 피크의 적분강도로부터 Garvie와 Nicholson식<sup>17)</sup>의 보정식인 Toraya 등<sup>18)</sup>의 다음식을 사용하여 계산하였다

$$V_m = \frac{1.311X_m}{1 + 0.311X_m} \quad (1)$$

$$\text{여기서 } X_m = \frac{I_{111}(111) + I_m(11\bar{1})}{I_{111}(111) + I_m(111) + I_m(1\bar{1}\bar{1})} \quad (2)$$

$V_m$  : 단사정  $ZrO_2$ 의 부피분율

$I_m$  : 단사정  $ZrO_2$  피크의 적분강도

$I_{111}$  : 정방정  $ZrO_2$  피크의 적분강도

Table 1. Compositions and Designations of Material Systems in this Study

Designation		Composition
12Ce-TZP		12.00 mol% $CeO_2$ - 88.00 mol% $ZrO_2$
12Ce, 0.2Ca-TZP	0.20 mol% $CaO$ -	11.98 mol% $CeO_2$ - 87.82 mol% $ZrO_2$
12Ce, 0.4Ca-TZP	0.40 mol% $CaO$ -	11.95 mol% $CeO_2$ - 87.65 mol% $ZrO_2$
12Ce, 0.6Ca-TZP	0.60 mol% $CaO$ -	11.93 mol% $CeO_2$ - 87.48 mol% $ZrO_2$
12Ce, 1.0Ca-TZP	0.99 mol% $CaO$ -	11.88 mol% $CeO_2$ - 87.13 mol% $ZrO_2$
12Ce, 0.2Mg-TZP	0.20 mol% $MgO$ -	11.98 mol% $CeO_2$ - 87.82 mol% $ZrO_2$
12Ce, 0.2Sr-TZP	0.20 mol% $SrO$ -	11.98 mol% $CeO_2$ - 87.82 mol% $ZrO_2$
12Ce, 0.2Sc-TZP	0.20 mol% $ScO_{15}$ -	11.98 mol% $CeO_2$ - 87.82 mol% $ZrO_2$
12Ce, 0.2Y-TZP	0.20 mol% $YO_{15}$ -	11.98 mol% $CeO_2$ - 87.82 mol% $ZrO_2$
12Ce, 0.2La-TZP	0.20 mol% $LaO_{15}$ -	11.98 mol% $CeO_2$ - 87.82 mol% $ZrO_2$

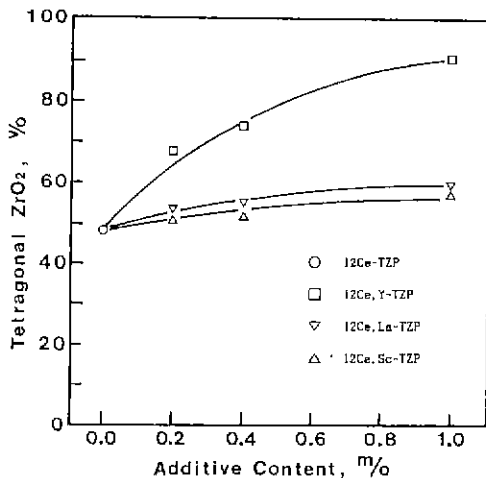


Fig. 1. Variations of the amount of tetragonal ZrO<sub>2</sub> formed in the various TZP ceramics as a function of additive content. Sintering was carried out at 1350°C for 2 h.

XRD로 입방정상의 존재를 확인할 때 저각에서는 정방정상과 입방정상의 피크 분리가 잘 일어나지 않기 때문에 비교적 피크 분리가 뚜렷이 일어나는 72°-75° 범위에서의 입장정(400) 피크의 존재유무로 입방정상의 존재를 확인하였다.

ZrO<sub>2</sub> 중의 미반응 CeO<sub>2</sub>상의 분율은 각 상의 XRD 피크의 적분강도로부터 직접 비교법을 사용하여 다음 식<sup>19)</sup>으로부터 계산하였다.

$$V_{Ce} = \frac{(R_{Zr}/R_{Ce})I_{Ce}}{I_{Zr} + (R_{Zr}/R_{Ce})I_{Ce}} \quad (3)$$

$$R = \frac{1}{V^2} \cdot (F^2) \cdot P \cdot (L) \cdot e^{-2M} \quad (4)$$

여기서

$V_{Ce}$  : ZrO<sub>2</sub>와 CeO<sub>2</sub>의 혼합상에서 CeO<sub>2</sub>상의 체적분율  
 $I_{Zr}$ ,  $I_{Ce}$  : ZrO<sub>2</sub>와 CeO<sub>2</sub> 피크의 적분강도

$R_{Zr}$ ,  $R_{Ce}$  : (4)식에 의한 ZrO<sub>2</sub>와 CeO<sub>2</sub>의 R값

V : 단위격자의 체적(unit cell volume)

F : 구조인자(structural factor)

L : Lorentz-polarization factor

$e^{-2M}$  : 온도인자(temperature factor)

### 2.3. 밀도 및 미세구조

소결시편의 밀도측정은 ASTM C 373-72에 준하여 험수법에 의해 행하였다. 소결체의 입자크기와 결정립

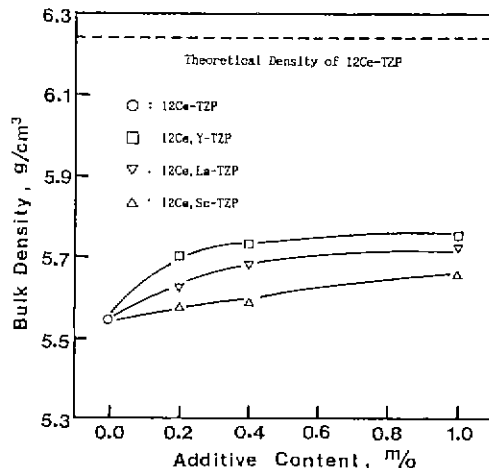


Fig. 2. Density variation of various TZP ceramics as a function of additive content. Sintering was carried out at 1350°C for 2 h.

형상을 관찰하기 위하여 소결체의 표면면을 주사전자현미경으로 관찰하였다.

### 2.4. 기계적 성질

꺾임강도는 JIS-R1601에 따라 3점 꺾임시험(span 길이 : 30 mm) 방법으로 하였으며, 하중하강속도는 0.5 mm/min.로 하였다.

## 3. 결과 및 고찰

### 3.1. CeO<sub>2</sub>와 각종 산화물에 의한 동시 안정화 효과

Fig. 1에는 12 mol%의 CeO<sub>2</sub>와 3가 산화물을 1 mol% 이내로 첨가하여 1350°C, 2시간 소결한 소결체 표면의 정방정상의 분율을 XRD로 분석하여, 첨가한 산화물의 함량변화에 따라 나타내었으며, 이하 가로축에 첨가량을 표시할 때 3가 산화물의 경우 M<sub>2</sub>O<sub>3</sub>(M=Sc, Y, La)의 물비로 나타내었다. 전 조성에서 입방정 ZrO<sub>2</sub>상은 관찰되지 않았다. Sc<sub>2</sub>O<sub>3</sub>와 La<sub>2</sub>O<sub>3</sub>의 첨가에 의해서도 정방정상의 분율이 다소 증가하나 3가 산화물 중에서는 Y<sub>2</sub>O<sub>3</sub>의 첨가시 정방정 ZrO<sub>2</sub>상의 생성이 가장 촉진됨을 알 수 있다. Fig. 2는 1350°C에서 2시간 소결한 소결체의 밀도 변화를 첨가한 3가 산화물의 함량변화에 따라 나타내었다. 이 경우에서도 역시 Y<sub>2</sub>O<sub>3</sub>의 첨가가 Ce-TZP의 치밀화를 촉진시킴을 알 수 있다.

Fig. 3에는 12 mol%의 CeO<sub>2</sub>와 2가 산화물을 첨가하여 1350°C에서 2시간 소결한 소결체의 정방정상 분율의 변

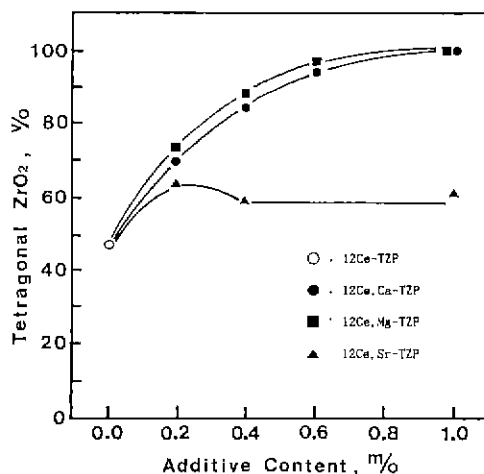


Fig. 3. Variations of the amount of tetragonal  $ZrO_2$  formed in the various TZP ceramics as a function of additive content. Sintering was carried out at 1350°C for 2 h.

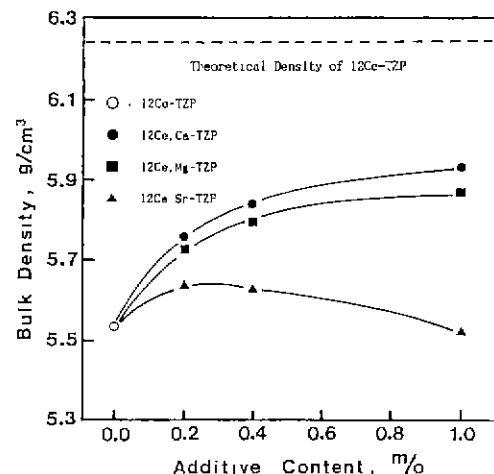


Fig. 4. Density variations of various TZP ceramics as a function of additive content. Sintering was carried out at 1350°C for 2 h.

Table 2. Data Necessary for Calculating R Values of  $ZrO_2$  and  $CeO_2$

Material	Reflection	V(Å <sup>3</sup> )	θ	F <sup>2</sup>	P	L	R
$ZrO_2$	(111)	137.2	15.0	16848	8	27.05	193.7
$CeO_2$	(111)	158.3	14.4	38950	8	30.41	378.1

화를 나타내었다.  $CaO$ 와  $MgO$ 의 첨가함이 증가함에 따라서 정방정상의 분율이 증가함을 알 수 있다. 또한 Fig. 4에는 각 소결체의 밀도를 나타내었으며, 이 경우에 있어서도  $CaO$ 와  $MgO$ 의 첨가에 의해 Ce-TZP의 밀도 증가를 가져올 수 있음을 알 수 있다.

1350°C에서 2시간 소결한 각 소결체의 경우 반응온도가 낮고 반응시간이 짧기 때문에 대부분의 시편에서  $ZrO_2$ 에 고용되지 않은 미반응  $CeO_2$ 상이 관찰되었다. 각 소결체내의 미반응  $CeO_2$ 상의 체적분율을 Fig. 5에 나타내었으며,  $CeO_2$ 상의 체적분율을 계산할 때 사용한 자료들을 Table 2에 나타내었다. 12Ce, La-TZP의 경우는  $La_2O_3$ 의  $ZrO_2$ 에 대한 고용범위가 작아서 일정량 이상이 고용되면 pyroclore상인  $La_2Zr_2O_7$ 의 형성되는 것으로 알려져 있으며, XRD로 분석할 때 이 상의 주피크인 (222)면의 면간거리가 3.11 Å으로써  $CeO_2$ 상의 주피크인 (111)면의 면간거리 3.124 Å와 매우 유사하기 때문에 두 상의 피크를 분리하기가 어려웠다. 따라서 Fig. 5에서는  $La_2O_3$ 첨가의 영향은 제외하였다.  $ZrO_2$  (111) 피크의 적분강도는  $ZrO_2$ 의 고온상인 정방정상의 (111)면이 저온에서 단사정상 (111)면과 단사정상 (11̄1)면으로 분해한다는

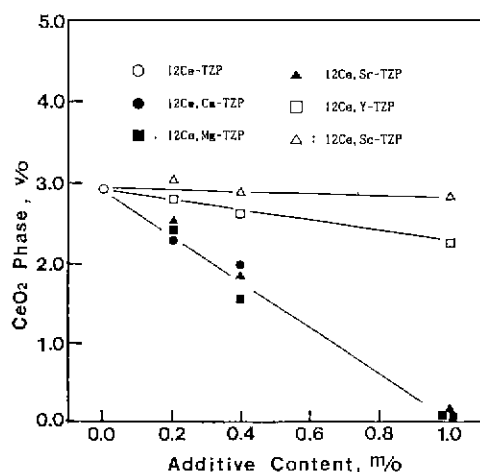


Fig. 5. Amount of unreacted  $CeO_2$  phase in the specimens sintered at 1350°C for 2 h.

개념하여<sup>17)</sup>  $I_c(111) + I_m(111) + I_m(11\bar{1})$ 의 값을 사용하였으며, 온도인자는 모두 1.0으로 하였다. 미반응  $CeO_2$ 상의 분율이  $CaO$ 와  $MgO$ 의 함량에 따라 감소하여  $CaO$ 와  $MgO$ 가 각각 1 mol% 첨가되었을 때는

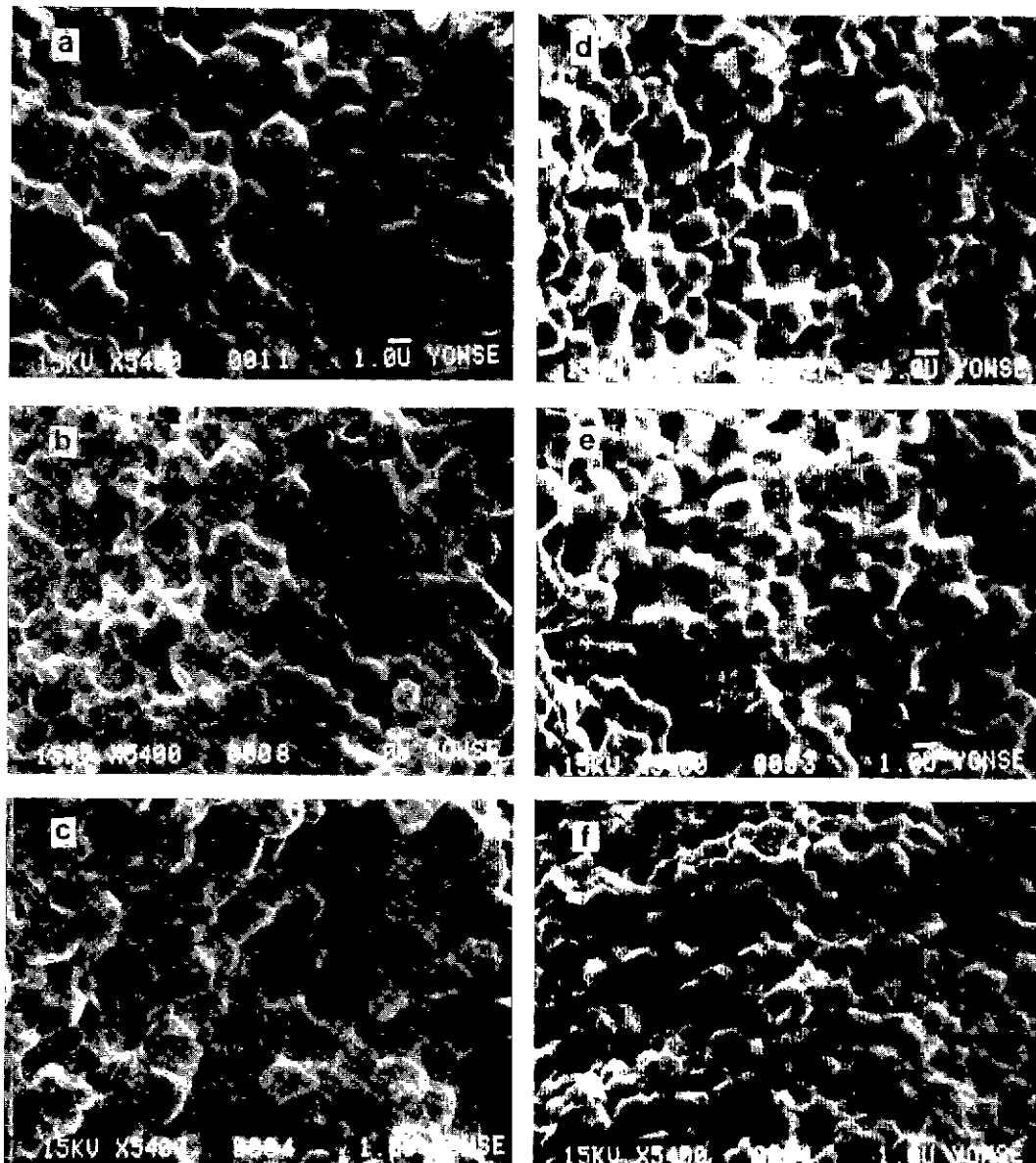


Fig. 6. SEM micrographs of fracture surfaces of a) 12Ce-TZP, b) 12Ce, 0.4Sc-TZP, c) 12Ce, 0.4Y-TZP, d) 12Ce, 0.4Sr-TZP, e) 12Ce, 0.4Mg-TZP, and f) 12Ce, 0.4Ca-TZP specimens sintered at 1500°C for 2 h.

미반응 CeO<sub>2</sub>의 퍼크가 관찰되지 않았다. 반면 3가 산화물이 첨가되었을 때는 1 mol% 첨가되었을 경우에도 미반응 CeO<sub>2</sub>상이 남아 있었다. CeO<sub>2</sub>와 ZrO<sub>2</sub>는 고온에서 모두 fluorite 구조를 가지며, CaO나 Y<sub>2</sub>O<sub>3</sub> 등의 저원자가 산화물을 CeO<sub>2</sub>와 ZrO<sub>2</sub>에 첨가하면 산소 공격자나 양이온 격자간극을 생성하여 격자확산계수를 증가시키는 것으로 알려져 있다<sup>20)</sup>. 따라서 2가 및 3가 산화물의 첨가에 의해

CeO<sub>2</sub>와 ZrO<sub>2</sub>간의 반응이 촉진되는 것은 2가 및 3가 산화물이 우선적으로 CeO<sub>2</sub>와 ZrO<sub>2</sub>에 고용되어 각 상의 격자확산계수를 증진시키기 때문으로 생각되며, 3가 산화물에 비해 2가 산화물이 첨가될 때 CeO<sub>2</sub>와 ZrO<sub>2</sub>간의 반응이 더욱 촉진되는 것은 3가 산화물에 비해 2가 산화물이 첨가될 때 격자결합의 생성량이 더욱 커지므로 격자확산계수의 증가폭이 더욱 커지기 때문으로 생각된다.

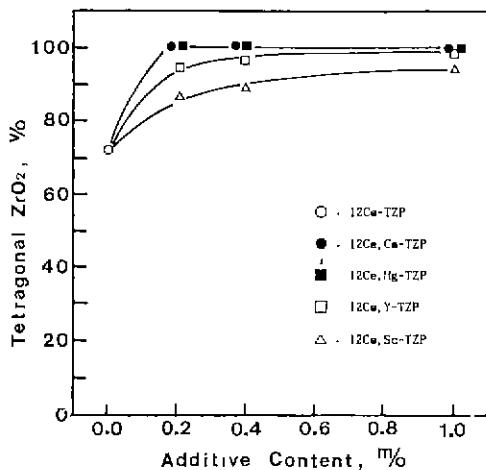


Fig. 7. Variations of the amount of tetragonal ZrO<sub>2</sub> formed in the various TZP ceramics as a function of additive content. Sintering was carried out at 1500°C for 2 h.

다. 예를 들어 하나의 Ce<sup>3+</sup>이온과 2개의 Y<sup>3+</sup>이온은 각각 1개의 V<sub>6</sub><sup>+</sup>를 생성시킬 수 있으며, 혹은 2개의 Ce<sup>3+</sup>이온과 4개의 Y<sup>3+</sup>이온은 각각 1개의 Zr<sub>t</sub>를 생성시킬 수 있다<sup>16,20,21</sup>.

2가 및 3가 산화물이 첨가되었을 때 정방정상의 분율이 증가하는 것은 첫째, 본 연구에서 사용한 산화물들이 직접 안정화제로 작용하여 정방정상을 생성시킬 수 있으며, 둘째, 2가 및 3가 산화물이 ZrO<sub>2</sub>에 먼저 고용되어 ZrO<sub>2</sub>에 대한 CeO<sub>2</sub>의 고용을 촉진시켰기 때문으로 생각된다.

1400°C에서 2시간 소결하였을 때도 12Ce-TZP(부피밀도=5.71, 정방정상 분율=64.4%)에 비해 2가 및 3가 산화물이 첨가된 TZP가 높은 밀도와 정방정상의 분율을 나타내었으며 12Ce-TZP에는 아직도 미량의 미반응 CeO<sub>2</sub>상이 관찰되었다.

CeO<sub>2</sub>가 완전히 고용된 상태에서의 정방정상 분율의 변화와 소결성의 변화를 알아보기 위하여 소결온도를 1500°C로 하여 2시간 소결하였다. Fig. 6에 각 소결체의 미세구조 사진을 나타내었다. TZP 세라믹스에 있어서 Zr보다 저기의 양이온이 입계에 편석되는 경향이 있는 것으로 알려져 있다<sup>22</sup>. 본 연구에서의 결과에 의하면 첨가된 양이온 중에서 ZrO<sub>2</sub>에 대한 입자성장 억제효과의 크기가 다음의 순으로 나타났다. Ce<sup>3+</sup>>Mg<sup>2+</sup>>Sr<sup>2+</sup>>Y<sup>3+</sup>, Sc<sup>3+</sup>. 이는 입계편석에 의한 입자성장 억제효과와 양이온의 원자기에 의해 크게 좌우되며, 또한 이온의 크기와도 연관되어 있음을 보여준다. 그러나 Sr 이온의

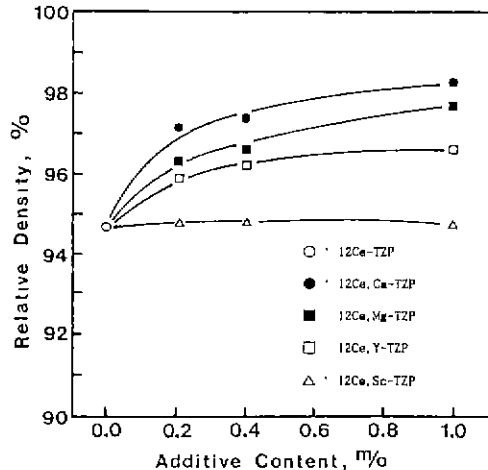


Fig. 8. Density variations of various TZP ceramics as a function of additive content. Sintering was carried out at 1500°C for 2 h.

이온반경이 Ca이온의 이온반경보다 큼에도 불구하고 입자성장 억제효과가 크지 않는 것은 SrO가 ZrO<sub>2</sub>에 첨가되면 불순물과 반응하여 액상을 형성하며<sup>23</sup> 따라서 입계편석에 의한 입자성장 억제효과를 나타내지 못한 것으로 생각된다. 12Ce, Sr-TZP의 파단면 미세구조 사진에서 파괴가 모두 입계파괴 형태를 나타낸 것이 액상형성 가능성을 뒷받침해준다.

Fig. 7과 Fig. 8에는 1500°C, 2시간 소결한 소결체의 정방정상 분율의 변화와 밀도변화를 각 산화물의 함량 변화에 따라 나타내었다. XRD 분석결과 모든 조성의 소결체에서 미반응 CeO<sub>2</sub>는 관찰되지 않았다. CaO와 MgO가 각각 0.2 mol% 첨가된 경우 정방정상으로만 이루어진 소결체를 얻을 수 있었다. 이와 같이 CeO<sub>2</sub>가 완전히 고용된 상태에서 3가 산화물보다 2가 산화물이 정방정상의 생성량을 크게 증가시키는 것은 CaO와 MgO 등의 2가 산화물이 3가 산화물에 비해 보다 강력한 안정화제라는 것을 나타내준다.

비구속계(nonconstrained system)에 있어서 ZrO<sub>2</sub>가 정방정상에서 단사정상으로 전이할 때 자유에너지의 변화는 다음과 같이 표시할 수 있다.

$$\Delta G_{t \rightarrow m} = (G_c^m - G_c^t) + (G_s^m - G_s^t) \\ = - |\Delta G_c| + \Delta G_s$$

여기서 G<sub>c</sub>: molar chemical free energy

G<sub>s</sub>: molar surface energy

t and m represent tetragonal and monoclinic ZrO<sub>2</sub> phase respectively

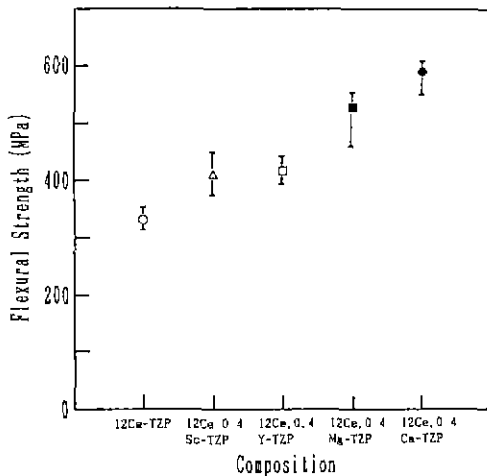


Fig. 9. Flexural strength of various TZP ceramics sintered at 1500°C for 2 h.

안정화제의 양이 증가할수록  $\Delta G_{\text{f}}$ 값은 감소하게 되며, 또한 비표면적 증가에 따른 표면에너지의 증가율이 정방정 ZrO<sub>2</sub>에 의해 단사정 ZrO<sub>2</sub>가 크기 때문에 결정입자가 미세할수록  $\Delta G_{\text{f}}$ 값은 커지게 된다. 결과적으로 위식에서  $\Delta G_{\text{f,m}}$ 값이 커질수록 정방정상의 안정성은 커지게 되며, 이 값이 양의 값을 가지면 정방정상에서 단사정상으로의 상전이가 일어나지 않게 된다. CaO나 MgO는 ZrO<sub>2</sub>에 고용되어  $\Delta G_{\text{f}}$ 값을 감소시키며, Fig. 6의 결과에서와 같이 결정입자를 미세화하여 정방정상의 안정성을 크게 증가시킨 것으로 생각된다.

2가 및 3가 산화물의 첨가에 의한 ZrO<sub>2</sub>의 밀도증가의 원인으로는 첫째, 상대적으로 밀도가 낮은 단사정상 분율의 감소에 의한 밀도증가와 둘째, Zr<sup>4+</sup>보다 저가의 양이온이 Zr 자리에 치환하여 고용됨으로써 Zr<sub>4</sub><sup>+</sup>의 농도가 증가하여 ZrO<sub>2</sub>의 격자확산계수가 증가하기 때문으로 생각된다<sup>20)</sup>.

### 3.2. 기계적 성질

Fig. 9에는 0.4 mol%의 2가 및 3가 산화물을 함유한 각 TZP의 꺾임강도값을 나타내었다. 2가 및 3가 산화물이 첨가된 TZP가 12Ce-TZP에 비하여 높은 강도값을 가짐을 알 수 있다. 특히 12Ce, 0.4Ca-TZP의 경우 12Ce-TZP에 비해 약 2배의 강도값을 나타내었다. 이와 같은 강도값의 증가는 다음과 같은 이유들에 기인하는 것으로 생각된다.

첫째, 12Ce-TZP의 정방정상의 분율이 약 72%인데 반해 12Ce, 0.4Sc-TZP와 12Ce, 0.4Y-TZP는 각각 90%와

97%이며, 12Ce, 0.4Mg-TZP와 12Ce, 0.4Ca-TZP는 100%으로 정방정상의 분율이 작은 TZP는 소결온도로부터 냉각될 때 상전이에 의해 미세균열이 생겨 강도가 저하될 것으로 생각된다.

둘째, 12Ce-TZP의 상대밀도값이 약 94.7%인데 반해 12Ce, 0.4Sc-TZP와 12Ce, 0.4Y-TZP는 각각 94.8%와 96.2%이며, 12Ce, 0.4Mg-TZP는 96.5%, 12Ce, Ca-TZP는 97.3%(Fig. 8)이므로 이러한 치밀화 정도의 차이가 강도값의 차이를 가져왔으리라 생각된다.

셋째, Ce-TZP에서는 입계편석이 거의 없기 때문에 입계는 높은 입계에너지율을 가지게 된다. 반면 2가 및 3가 산화물이 첨가된 경우 2가 및 3가 양이온의 입계편석에 의하여 낮은 입계에너지율을 갖게 되며, 따라서 높은 결합강도를 가질 수 있다.

넷째, Ce-TZP에서는 정방정상의 안정성이 CeO<sub>2</sub>의 함량 증가에 따라 증가하며 강도값은 정방정상의 안정성의 증대에 따라 증가하여 CeO<sub>2</sub>의 함량이 14 mol%가 될 때까지 증가하게 된다. 이러한 영역에서 강도는 전이를 일으키는데 필요한 임계응력에 의해 지배되는 것으로 알려져 있다. 그러므로 12Ce-TZP에 비해 2가 및 3가 산화물을 함유한 TZP의 강도가 큰 것은 결정입자 크기를 포함한 정방정상의 안정성의 차이에서 기인한 것으로 생각된다.

## 4. 결 론

ZrO<sub>2</sub>에 12 mol%의 CeO<sub>2</sub>와 2가 및 3가 산화물을 각각 1 mol% 이내로 동시에 첨가하여 제조한 TZP계 세라믹스의 치밀화와 상의 안정성에 대하여 연구한 결과 본 연구범위에서 다음과 같은 결론을 얻었다.

1. 2가 및 3가 산화물의 고용에 의해 정방정 ZrO<sub>2</sub>의 안정성이 증진되었다
2. 2가 및 3가 산화물의 첨가에 의해 ZrO<sub>2</sub>의 입장성이 억제되며, 이 중 CaO가 가장 큰 억제효과를 나타내었다.
3. MgO와 CaO는 Ce-TZP의 치밀화에 크게 기여하며, 이 중 CaO가 가장 효과적인 소결 조제로 작용함을 알 수 있었다.
4. 12Ce-TZP에 비하여 2가 및 3가 산화물이 첨가된 TZP는 높은 강도값을 가지며, 12Ce, 0.4Ca-TZP의 경우 12Ce-TZP의 약 2배의 강도값(약 600 MPa)을 나타내었다. 이는 상대밀도값의 증가, 입자의 미세화와 정방정상의 안정성의 증대에 기인한 것으로 생각된다.

## 감사의 글

본 연구는 90년도 학술진흥재단 연구비 지원으로 수행되었으며 이에 감사를 드립니다.

## REFERENCES

2. T.K. Gupta, F.F. Lange and J.H. Bechtold, "Effect of Stress Induced Phase Transformation on The Properties of Polycrystalline Zirconia Containing Metastable Tetragonal Phase," *J. Mater. Sci.*, **13**, 1464-1470 (1978).
2. M. Matsui, T. Soma and I. Oda, "Stress-Induced Transformation and Plastic Deformation for  $\text{Y}_2\text{O}_3$ -Containing Tetragonal Zirconia Polycrystals," *J. Am. Ceram. Soc.*, **69**(3), 198-202 (1986).
3. A.G. Evans and A.H. Heuer, "Review-Transformation Toughening in Ceramics: Martensitic Transformation in Crack-Tip Stress Fields," *ibid.*, **60**(5-6), 241-248 (1980).
4. M.V. Swain, "Strength-Toughness Relationships for Transformation Toughened Ceramics," pp. 151-162 in Fracture Mechanics of Ceramics, Vol. 8, Ed. by R.C. Bradt, A.G. Evans, D.P. Hasselman and F.F. Lange, Plenum Press, New York and London, 1985.
15. F.F. Lange, "Transformation Toughening-Part 3 Experimental Observations in the  $\text{ZrO}_2$ - $\text{Y}_2\text{O}_3$  System," *J. Mat. Sci.*, **17**, 240-246 (1982).
6. O. Yamamoto and Y. Taketa, "Electrical Conductivity of Polycrystalline Tetragonal Zirconia  $\text{ZrO}_2\text{-M}_2\text{O}_3$  ( $\text{M} = \text{Sc}, \text{Y}, \text{Yb}$ )" *J. Mater. Sci. Lett.*, **8**, 198-200 (1989).
7. P. Durán and P. Recio, "Preparation, Sintering, and Properties of Translucent  $\text{Er}_2\text{O}_3$ -Doped Tetragonal Zirconia," *J. Am. Ceram. Soc.*, **72**(11), 2088-2093 (1989).
8. T. Masaki, "Mechanical Properties of Toughened  $\text{ZrO}_2$ - $\text{Y}_2\text{O}_3$  Ceramics," *J. Am. Ceram. Soc.*, **69**(8), 638-640 (1986).
9. T. Sato, S. Ohtaki, T. Endo and M. Shimada, "Improvement to the Thermal Stability of Yttria-Doped Tetragonal Zirconia Polycrystals by Alloying with Various Oxides," pp. 29-37 in Advances in Ceramics, Vol. 24 Ed. by S. somiya, N. Yamamoto and H. Hanagida, The American Ceramic Society, Westerville, OH, 1988.
10. P.E.R. Morel and I.W. Chen, "Transformation Plasticity of  $\text{CeO}_2$ -Stabilized Tetragonal Zirconia Polycrystals: I, Stress Assistance and Autocatalysis," *J. Am. Ceram. Soc.*, **71**(5), 343-353 (1988).
11. T.W. Coyle, W.S. Coblenz and B.A. Bender, "Transformation Toughening in Large-Grain-Size  $\text{CeO}_2$ -Doped  $\text{ZrO}_2$  Polycrystals," *ibid.*, **71**(2), C-88-C-92 (1988).
12. K. Tsukuma and M. Shimada, "Strength, Fracture Toughness and Vickers Hardness of  $\text{CeO}_2$  Stabilized Tetragonal  $\text{ZrO}_2$  Polycrystals (Ce-TZP)," *J. Mater. Sci.*, **20**, 1178-1184 (1985).
13. K. Tsukuma, T. Takahata and M. shiomi, "Strength and Fracture Toughness of Y-TZP, Ce-TZP, Y-TZP/ $\text{Al}_2\text{O}_3$ , and Ce-TZP/ $\text{Al}_2\text{O}_3$ ," pp. 721-728 in Advances in Ceramics, Vol. 24 Ed. by S somiya, N. Yamamoto and H. Hanagida, The American Ceramic Society, Westerville, OH, 1988.
14. T. Sato, T. Endo and M. Shimada, "Postsintering Hot Isostatic Pressing of Ceria-Doped Tetragonal Zirconia/Alumina Composites in an Argon-Oxygen Gas Atmosphere," *J. Am. Ceram. Soc.*, **72**(5), 761-764 (1989).
15. M.L. Mecartney, "Influence of an Amorphous Second Phase on the Properties of Yttria-Stabilized Tetragonal Zirconia Polycrystals (Y-TZP)," *ibid.*, **70**(1), 54-58 (1987).
16. Suxing Wu and R.J. Brook, "Sintering Additives for Zirconia Ceramics," *Trans. J. Br. Ceram. Soc.*, **82**, 200-205 (1983).
17. R.C. Garvie and P.S. Nicholson, "Phase Analysis in Zirconia System," *J. Am. Ceram. Soc.*, **67**(6), 303-305 (1972).
18. H. Toraya, M. Yoshimura and S. Somiya, "Calibration Curve for Quantitative Analysis of the Monoclinic-Tetragonal  $\text{ZrO}_2$  System by X-ray Diffraction," *ibid.*, **67**(6), C-119-C-121 (1984).
19. B.D. Cullity, pp. 407-415 in Elements of X-Ray Diffraction. Addison-Wesley Publishing Company, Inc. 1978.
20. Suxing Wu, pp. 150-155 in Research Reports in Materials Science, Vol. 7, in Sintering Additives for Zirconia Ceramics. Ed. by P.E. Evans, Parthenon Press, England, 1986.
21. S. Maschio, E. Bischoff, O. Sbaizer and S. Meriani, "Sintering Aids for Ce-TZP," pp. 171-180 in Proceedings of the international conference Zirconia 88-Advances in Zirconia Science and Technology, Ed. by S. Meriani and C. Palmonari, Elsevier Applied Science, London and New York, 1988.
22. I.W. Chen and L.A. Xue, "Development of Superplastic Structural Ceramics," *J. Am. Ceram. Soc.*, **73**(9), 2585-2609 (1990).
23. J. Drennan and R.H.J. Hannink, "Effect of SrO Additions on the Grain-boundary Microstructure and Mechanical Properties of Magnesia-Partially-Stabilized Zirconia," *J. Am. Ceram. Soc.*, **69**(7), 541-546 (1986).